

# Transfert inductif de l'énergie



## Leçon 5



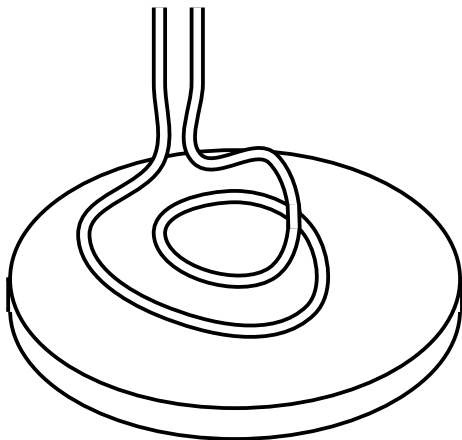
### Induction transversale

G. Vinsard

Gerard.Vinsard@univ-lorraine.fr

6 octobre 2014

## L'induction transverse



Un inducteur est disposé de manière que son induction source puisse traverser la pièce conductrice dans une direction normale à ses plus grandes dimensions.

## Modèle de calcul

- ▶ Le modèle en potentiels vecteur magnétique et scalaire électrique n'est pas le plus astucieux ; il est préférable d'en utiliser un autre formulé en fonction de courant et potentiel scalaire magnétique.
- ▶ Ce modèle n'est pas d'un abord si facile, aussi la géométrie et les propriétés physiques des éléments du dispositif générique à partir duquel il va être introduit vont-elles être simplifiées d'emblée :
  - ▶ il n'y a en présence que l'inducteur  $D_s$  et la charge  $D$  supposée être connexe ;
  - ▶ Comme à la leçon 3, l'inducteur est fermé de manière qu'il puisse être considéré comme un tore. La formulation en courant est choisie.
  - ▶ Les fonctions de perméabilité et conductivité dans l'espace sont



$$\mu = \begin{cases} \mu_0 \mu_r & \text{dans } D \\ \mu_0 & \text{ailleurs} \end{cases} ; s = \begin{cases} \sigma & \text{dans } D \\ 0 & \text{ailleurs} \end{cases}$$

## Champs sources

- Le courant source est donc

$$\vec{j}_s = i_s \vec{u}_s$$

où  $\vec{u}_s$  est l'élément générateur de l'espace de cohomologie de ce tore.

- L'induction source est l'induction qu'il y aurait en l'absence de l'aspect conducteur de la charge, i.e.  $\vec{h}_s, \vec{b}_s$  sont solutions de

$$\vec{\nabla} \times \vec{h}_s = \vec{j}_s \quad ; \quad \vec{\nabla} \cdot \vec{b}_s = 0 \quad ; \quad \vec{b}_s = \mu \vec{h}_s$$

où  $\mu$  est la fonction de perméabilité qui prend aussi en compte le magnétisme de la charge.

- le champ électrique source est solution de

$$\vec{\nabla} \times \vec{e}_s = -j \omega \vec{b}_s \quad ; \quad \vec{\nabla} \cdot \vec{e}_s = 0$$

D'éventuelles charges d'espace dans l'inducteur ne sont pas prises en compte.

## Champs de réaction d'induit

►  $\vec{b}_t$ ,  $\vec{h}_t$ ,  $\vec{e}_t$  sont les induction, champ magnétique, champ électrique totaux ;  $\vec{j}$  et  $\rho$  sont les densité de courants induits et charge d'espace ; ils sont solutions de

$$\begin{aligned}\vec{\nabla} \times \vec{h}_t &= \vec{j}_s + \vec{j} & ; & \quad \vec{\nabla} \cdot \vec{b}_t = 0 \\ \vec{\nabla} \times \vec{e}_t &= -j \omega \vec{b}_t & ; & \quad \epsilon_0 \vec{\nabla} \cdot \vec{e}_t = \rho \\ \vec{b}_t &= \mu \vec{h}_t & ; & \quad \vec{j} = s \vec{e}_t\end{aligned}$$

avec (rappelons-le)

$$\mu = \begin{cases} \mu_0 \mu_r & \text{dans } D \\ \mu_0 & \text{ailleurs} \end{cases} ; s = \begin{cases} \sigma & \text{dans } D \\ 0 & \text{ailleurs} \end{cases}$$

►  $\vec{b}$ ,  $\vec{h}$ ,  $\vec{e}$  sont tels que

$$\vec{b}_t = \vec{b}_s + \vec{b} \quad ; \quad \vec{h}_t = \vec{h}_s + \vec{h} \quad ; \quad \vec{e}_t = \vec{e}_s + \vec{e}$$

ce sont les champs de réaction d'induit.

## Superposition

► En procédant par superposition,  $\underline{\vec{b}}$ ,  $\underline{\vec{h}}$ ,  $\underline{\vec{e}}$  sont solutions de

$$\begin{aligned}\vec{\nabla} \times \underline{\vec{h}} &= \underline{\vec{j}} & ; & \quad \vec{\nabla} \cdot \underline{\vec{b}} = 0 \\ \vec{\nabla} \times \underline{\vec{e}} &= -j \omega \underline{\vec{b}} & ; & \quad \epsilon_0 \vec{\nabla} \cdot \underline{\vec{e}} = \underline{\rho} \\ \underline{\vec{b}} &= \mu \underline{\vec{h}} & ; & \quad \underline{\vec{j}} = s (\underline{\vec{e}} + \underline{\vec{e}}_s)\end{aligned}$$

C'est ce système qui va être considéré.

► Le terme source est  $\underline{\vec{e}}_s$ , qui peut être appelé le champ électromoteur, n'est actif que là où  $s \neq 0$  c'est à dire dans  $D$ . La caractéristique majeure est que s'il se réduisait au gradient d'un potentiel dans  $D$  la solution du système serait

$$\underline{\vec{e}} = -\underline{\vec{e}}_s \text{ dans } E_3 \implies \underline{\vec{j}} = \vec{0} \text{ et donc } \underline{\vec{b}} = \vec{0} \text{ dans } E_3$$

Les courants induits sont donc contrôlés par le rotationnel  $\vec{\nabla} \times \underline{\vec{e}}_s$  du champ électromoteur qui est (par Maxwell-Faraday) la variation temporelle de l'induction source  $-j \omega \underline{\vec{b}}_s$ .

## La fonction de courant et le potentiel scalaire magnétique

► Si  $D$  est connexe, la densité de courant peut être paramétrisée par la fonction de courants  $\underline{T}$  telle que

$$\begin{cases} \vec{j} = \vec{\nabla} \times \underline{T} ; \vec{\nabla} \cdot \underline{T} = 0 & \text{dans } D \\ \underline{T} \times \vec{n} = \vec{0} & \text{sur } \partial D \\ \underline{T} = \vec{0} & \text{dans } E_3 - D \end{cases}$$

La propriété sur le bord  $\partial D$  de  $D$  entraîne que

$$\vec{\nabla} \times \underline{T} \cdot \vec{n} = 0 \text{ sur } \partial D$$

et donc le courant induit reste confiné à l'intérieur de  $D$ .

► Puisque  $\underline{T}$  n'a pas de discontinuité tangentielle, la relation de Maxwell-Ampère se réécrit alors comme

$$\vec{\nabla} \times (\vec{h} - \underline{T}) = \vec{0} \text{ dans } E_3$$

et le lemme de Poincaré *ad hoc* permet de poser

$$\vec{h} = \underline{T} - \vec{\nabla} \underline{\Omega} \text{ dans } E_3$$

où  $\underline{\Omega}$  est le potentiel scalaire magnétique.

# Conservation de l'induction magnétique

L'injection de ces nouvelles variables dans le reste des équations du système fournit

► Pour  $\vec{\nabla} \cdot \underline{\vec{b}} = 0$

$$\vec{\nabla} \cdot (\mu (\underline{\vec{I}} - \vec{\nabla} \underline{\Omega})) = 0 \text{ dans } E_3$$

soit <sup>1</sup>

$$\vec{\nabla} \cdot \mu \vec{\nabla} \underline{\Omega} + \mu \underline{\vec{I}} \cdot \vec{n} \delta_{\partial D} = 0 \text{ dans } E_3$$

qui est l'équation permettant le calcul de  $\underline{\Omega}$  connaissant

$$\underline{\vec{I}} \cdot \vec{n} \text{ sur } \partial D$$

$\delta_{\partial D}$  est la distribution surfacique telle que

$$\forall \varphi : \int_{E_3} \varphi \delta_{\partial D} d\vec{x}^3 = \int_{\partial D} \varphi d\vec{x}^2$$

---

1. on suppose  $\mu$  uniforme dans  $D$

## Maxwell-Faraday dans la charge

► l'équation  $\vec{\nabla} \times \underline{\vec{e}} = -j \omega \underline{\vec{b}}$  s'écrit dans  $D$  comme

$$\vec{\nabla} \times \underline{\vec{e}} = -j \omega \mu \underline{\vec{I}} - j \omega \mu \vec{\nabla} \underline{\Omega} \text{ dans } D$$

Il est possible d'ajouter que

$$\underline{\vec{e}} = \frac{\underline{j}}{\sigma} - \underline{\vec{e}}_s = \frac{\vec{\nabla} \times \underline{\vec{I}}}{\sigma} - \underline{\vec{e}}_s \text{ dans } D$$

et donc elle prend la forme

$$\vec{\nabla} \times \left( \frac{\vec{\nabla} \times \underline{\vec{I}}}{\sigma} \right) - \underbrace{\vec{\nabla} \times \underline{\vec{e}}_s}_{= -j \omega \underline{\vec{b}}_s} = -j \omega \mu \underline{\vec{I}} - j \omega \mu \vec{\nabla} \underline{\Omega} \text{ dans } D$$

et comme

$$\vec{\nabla} \cdot \underline{\vec{I}} = 0 \text{ dans } D ; \underline{\vec{I}} \times \vec{n} = \vec{0} \text{ sur } \partial D$$

ce système permet le calcul de  $\underline{\vec{I}}$  dans  $D$  dès lors que  $\underline{\Omega}$  est supposé connu.

## Maxwell-Faraday en dehors de la charge

► l'équation  $\vec{\nabla} \times \underline{\vec{e}} = -j \omega \underline{\vec{b}}$  s'écrit en dehors de  $D$  comme

$$\vec{\nabla} \times \underline{\vec{e}} = -j \omega \mu \vec{\nabla} \underline{\Omega} \text{ dans } E_3 - D$$

Elle est compatible avec  $\vec{\nabla} \cdot \mu \vec{\nabla} \underline{\Omega} + \mu \underline{\vec{T}} \cdot \vec{n} \delta_{\partial D} = 0$  dans  $E_3$  qui s'écrit

$$\vec{\nabla} \cdot \mu \vec{\nabla} \underline{\Omega} = 0 \text{ dans } E_3 - D$$

Si on considère qu'il n'y a pas de charges d'espace en dehors de  $D$ , l'équation de Gauss s'écrit

$$\vec{\nabla} \cdot \underline{\vec{e}} = 0 \text{ dans } E_3 - D$$

Et comme  $\underline{\vec{e}}$  doit être continu tangentiellement sur  $\partial D$  on dispose de la condition aux limites

$$\underline{\vec{e}}|_{\text{côté } E_3 - D} \times \vec{n} = \underline{\vec{e}}|_{\text{côté } D} \times \vec{n} \text{ sur } \partial D$$

qui complète les conditions permettant le calcul de  $\underline{\vec{e}}$  dans  $E_3 - D$

## Formulation $\mathbf{T} - \underline{\Omega}$

La forme finale du système permettant le calcul de la fonction de courant  $\underline{\vec{T}}$  connaissant le potentiel scalaire magnétique  $\underline{\Omega}$  est alors

$$\begin{cases} \vec{\nabla} \times \left( \frac{1}{\sigma} \vec{\nabla} \times \underline{\vec{T}} \right) = -j \omega \mu \underline{\vec{T}} - j \omega \mu \vec{\nabla} \underline{\Omega} - j \omega \underline{\vec{b}}_s & \text{dans } D \\ \vec{\nabla} \cdot \underline{\vec{T}} = 0 & - \quad D \\ \underline{\vec{T}} \times \underline{\vec{T}} = \vec{0} & \text{sur } \partial D \end{cases}$$

et ce qu'on appelle formulation  $\mathbf{T} - \underline{\Omega}$  est constitué de ce système auquel est adjoint l'équation déjà établie permettant le calcul de  $\underline{\Omega}$

$$\vec{\nabla} \cdot \mu \vec{\nabla} \underline{\Omega} + \mu \underline{\vec{T}} \cdot \vec{n} \delta_{\partial D} = 0 \text{ dans } E_3$$

De plus le système

$$\begin{cases} \vec{\nabla} \times \underline{\vec{e}} = -j \omega \mu \vec{\nabla} \underline{\Omega} & \text{dans } E_3 - D \\ \vec{\nabla} \cdot \underline{\vec{e}} = 0 & - \quad E_3 - D \\ \underline{\vec{e}}|_{\text{côté } E_3 - D} \times \vec{n} = \underline{\vec{e}}|_{\text{côté } D} \times \vec{n} & \text{sur } \partial D \end{cases}$$

permet d'accéder aux charges surfaciques sur  $\partial D$  par

$$\rho_s = \underline{\vec{e}}|_{\text{côté } E_3 - D} \cdot \vec{n} + \underline{\vec{e}}_s \cdot \vec{n}$$

## Plaque plane : courant uniforme sur la tranche

Si la charge a une forme de plaque plane d'épaisseur plus grande que la profondeur de pénétration de l'effet Kelvin, alors il est possible de supposer que le courant ne varie pas suivant  $\vec{k}_3$  et d'approximer le courant induit par

$$\vec{j} = j_1(x_1, x_2) \vec{k}_1 + j_2(x_1, x_2) \vec{k}_2 \text{ dans } D$$

et  $\vec{j} = \vec{\nabla} \times \underline{T}$  se traduit par

$$\underline{T} = T(x_1, x_2) \vec{k}_3 \implies j_1 = \partial_2 T ; j_2 = -\partial_1 T$$

La condition

$$\underline{T} \times \vec{n} = \vec{0} \text{ sur } \Gamma_s \text{ et } \Gamma_n$$

est respectée et il reste à ajouter n à ajouter

$$\underline{T} = 0 \text{ sur } \Gamma_l$$

pour qu'elle le soit sur  $\Gamma_l$ .

## Plaque plane : premiers résultats

La projection de

$$\vec{\nabla} \times \left( \frac{1}{\sigma} \vec{\nabla} \times \underline{\vec{I}} \right) = -j \omega \mu \underline{\vec{I}} - j \omega \mu \vec{\nabla} \underline{\Omega} - j \omega \underline{\vec{b}}_s \text{ dans } D$$

le long de l'axe  $\vec{k}_3$  est

$$\Delta \underline{I} - j \omega \sigma \left( \mu \underline{I} + \mu \partial_3 \underline{\Omega} + \underbrace{\underline{\vec{b}}_s \cdot \vec{k}_3}_{= \underline{b}_3} \right) = 0 \text{ dans } D$$

L'équation du potentiel scalaire magnétique devient

$$\vec{\nabla} \cdot \left( \mu \vec{\nabla} \underline{\Omega} \right) + \mu \underline{I} \delta_{\Gamma_n} - \mu \underline{I} \delta_{\Gamma_s} = 0$$

où  $\delta_{\Gamma_n}$  et  $\delta_{\Gamma_s}$  sont les distributions surfaciques

$$\forall \varphi : \int_{E_3} \varphi \delta_{\Gamma_n} d\vec{x}^3 = \int_{\Gamma_n} \varphi d\vec{x}^2 ; \int_{E_3} \varphi \delta_{\Gamma_s} d\vec{x}^3 = \int_{\Gamma_s} \varphi d\vec{x}^2$$

## Plaque plane : affaiblissement de l'éq. du courant (1/2)

Le modèle devient alors

$$\left\{ \begin{array}{ll} \Delta \underline{T} - j \omega \sigma (\mu \underline{T} + \mu \partial_3 \underline{\Omega} - \underline{b}_3) = 0 & \text{dans } D \\ \underline{T} = 0 & \text{sur } \Gamma_l \\ \vec{\nabla} \cdot (\mu \vec{\nabla} \underline{\Omega}) + \mu \underline{T} \delta_{\Gamma_n} - \mu \underline{T} \delta_{\Gamma_s} = 0 & \text{dans } E_3 \end{array} \right.$$

L'équation de la fonction de courant  $\underline{T}$  n'est pas cohérente puisque  $\underline{T}$  ne dépend pas de  $x_3$  alors que  $\underline{b}_3$  et  $\underline{\Omega}$  en dépendent *a priori*.

L'approximation faite sur l'uniformité de  $\vec{j}$  dans la tranche de la plaque doit donc être complétée par une approximation sur cette équation qui consiste à ne retenir d'elle que sa valeur moyenne sur cette tranche, soit

$$\Delta \underline{T} - j \omega \sigma \left( \mu \underline{T} + \mu \frac{1}{e} \int_0^e \partial_3 \underline{\Omega} \, dx_3 + \frac{1}{e} \int_0^e \underline{b}_3 \, dx_3 \right) = 0$$

## Plaque plane : affaiblissement de l'éq. du courant (2/2)

En posant

$$\underline{\Omega}_n = \underline{\Omega}(x_1, x_1, e) \quad ; \quad \underline{b}_s(x_1, x_2) = \frac{1}{e} \int_0^e \underline{b}_3(x_1, x_2, x_3) dx_3$$
$$\underline{\Omega}_s = \underline{\Omega}(x_1, x_1, 0)$$

l'équation moyenne devient

$$\Delta \underline{T} - j \omega \sigma \left( \mu \underline{T} - j + \mu \frac{\underline{\Omega}_n - \underline{\Omega}_s}{e} + \underline{b}_s \right) = 0$$

Le domaine où elle est définie est  $\Gamma$  la projection (suivant  $\vec{k}_3$ ) dans le plan  $E_2$  du domaine  $D$  et le bord  $\partial\Gamma$  de ce domaine est la projection dans ce plan du bord latéral  $\Gamma_l$  de  $D$ . La condition aux limites sur  $\Gamma_l$  devient alors

$$\underline{T} = 0 \text{ sur } \partial\Gamma$$

ce qui permet le calcul effectif de  $\underline{T}$  connaissant  $\underline{b}_s$  et  $\underline{\Omega}$ .

## Modèle $\mathbf{T} - \Omega$ de la plaque plane

En excluant les aspects capacitifs, le modèle final est

$$\left\{ \begin{array}{ll} \Delta \underline{T} - \left(\frac{1+j}{\delta}\right)^2 \left(\underline{T} + \frac{\underline{\Omega}_n - \underline{\Omega}_s}{e} + \underline{h}_s\right) = 0 & \text{dans } \Gamma \\ \underline{T} = 0 & \text{sur } \partial\Gamma \\ \vec{\nabla} \cdot (\mu \vec{\nabla} \underline{\Omega}) + \mu \underline{T} \delta_{\Gamma_n} - \mu \underline{T} \delta_{\Gamma_s} = 0 & \text{dans } E_3 \\ \underline{\Omega}_n = \underline{\Omega}|_{\Gamma_n} ; \underline{\Omega}_s = \underline{\Omega}|_{\Gamma_s} & \end{array} \right.$$

où  $\underline{h}_s = \underline{b}_s / \mu$  et

$$\delta = \sqrt{\frac{2}{\sigma \mu_0 \mu_r \omega}}$$

est la profondeur de pénétration de l'effet Kelvin dans la plaque.

La fonction de courant  $\underline{T}$  est circonscrite à un domaine 2D alors que le potentiel scalaire magnétique a des valeurs dans tout l'espace ; mais seules ses valeurs sur les bords nord et sud de la plaque sont utilisées.

## Modèle en fonction de courant

Pour une plaque non-magnétique

$$\mu_r = 1$$

cela conduit à d'importantes simplifications. Notamment le champ source se calcule par Biot et Savart

$$\vec{a}_s(\vec{x}) = \frac{\mu_0}{4\pi} i_s \int_{D_s} \frac{u_s(\vec{y})}{|\vec{x} - \vec{y}|} d\vec{y}^3 \implies \vec{b}_s(\vec{x}) = \frac{\mu_0}{4\pi} i_s \int_{D_s} \frac{u_s(\vec{y}) \times (\vec{x} - \vec{y})}{|\vec{x} - \vec{y}|^{3/2}} d\vec{y}^3$$

et comme il n'est utilisé que dans la plaque (en dehors du domaine inducteur  $D_s$ ) il n'y a pas de difficultés numériques pour obtenir ses valeurs.

Mais de plus le problème du potentiel scalaire magnétique peut également être formulé sous intégrale comme

$$\begin{aligned} \underline{\Omega}(x_1, x_2, x_3) &= \frac{1}{4\pi} \int_{\Gamma} \frac{\underline{I}(x_1, x_2) dy_2 dy_3}{\sqrt{(y_1 - x_1)^2 + (y_2 - x_2)^2 + (e - x_3)^2}} \\ &- \frac{1}{4\pi} \int_{\Gamma} \frac{\underline{I}(x_1, x_2) dy_2 dy_3}{\sqrt{(y_1 - x_1)^2 + (y_2 - x_2)^2 + x_3^2}} \end{aligned}$$

## Cas d'une plaque conductrice et non-magnétique

Le potentiel scalaire magnétique est utilisé en  $x_3 = 0$  et  $x_3 = e$  et les deux intégrales sont symétriques dans le sens que la valeur en  $x_3 = 0$  de la première est la valeur en  $x_3 = e$  de l'autre et vice-versa. le modèle peut donc être réarrangé en posant

$$\underline{F} = e \underline{I}$$

comme

$$\left\{ \begin{array}{ll} \Delta \underline{F} - \left( \frac{1+j}{\delta} \right)^2 \left( \underline{F} + 2 (\underline{\psi}_0 - \underline{\psi}_e) + e \underline{h}_s \right) = 0 & \text{dans } \Gamma \\ \underline{F} = 0 & \text{sur } \partial\Gamma \\ \underline{\psi}_0 = \frac{1}{4\pi e} \int_{\Gamma} \frac{\underline{F}(x_1, x_2) dy_2 dy_3}{\sqrt{(y_1 - x_1)^2 + (y_2 - x_2)^2}} \\ \underline{\psi}_e = \frac{1}{4\pi e} \int_{\Gamma} \frac{\underline{F}(x_1, x_2) dy_2 dy_3}{\sqrt{(y_1 - x_1)^2 + (y_2 - x_2)^2 + e^2}} \end{array} \right.$$

L'intérêt est que  $F(x, y)$  est directement la quantité de courant qui traverse une courbe quelconque joignant le point  $(x, y)$  à un point quelconque du bord de  $\Gamma$ .

## Réaction d'induit négligée et induction source uniforme

La réaction d'induit est prise en compte par le terme

$$(\underline{\psi}_0 - \underline{\psi}_e)$$

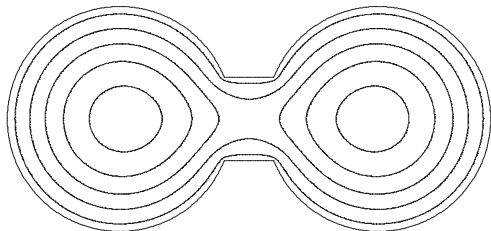
Si cette contribution est négligée, et que de plus l'induction source est uniforme (la plaque est placée à l'intérieur d'une bobine de hauteur  $L$ ) le problème de la recherche du courant induit devient assez simple : il suffit de calculer la solution de

$$\begin{cases} \Delta \underline{E} - \left(\frac{1+j}{\delta}\right)^2 (\underline{E} + N \underline{i} \frac{e}{L}) = 0 & \text{dans } \Gamma \\ \underline{E} = 0 & \text{sur } \partial\Gamma \end{cases}$$

où  $N \underline{i}$  sont les ampères-tours de la bobine inductrice.

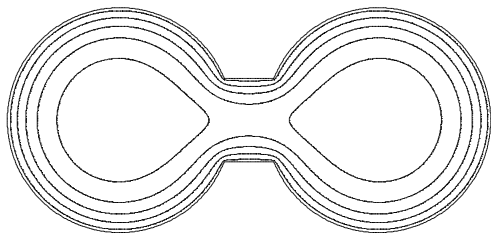
Les résultats de calcul donnent des informations qualitatives intéressantes sur les chemins de passage du courant.

Haltère,  $R = 1$ ,  $e = 0.8$ ,  $d = 2.3$ ,  $\delta = 0.3$ ,  $N_{ie}/L = 1$



Partie réelle

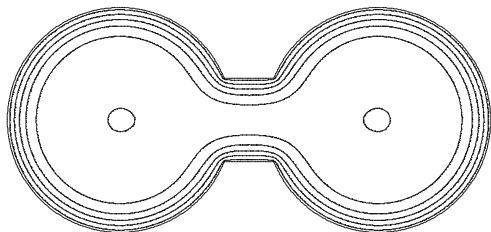
$$-0.005 < \Re\{\underline{E}\} < 1$$



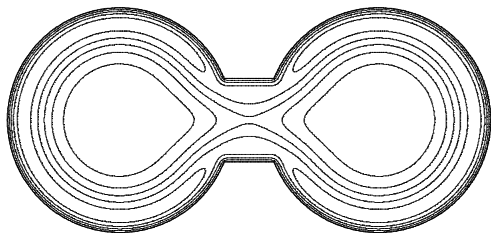
Partie imaginaire

$$0 < \Im\{\underline{E}\} < 0.55$$

Haltère,  $R = 1, e = 0.8, d = 2.3, \delta = 0.1, N_{ie}/L = 1$

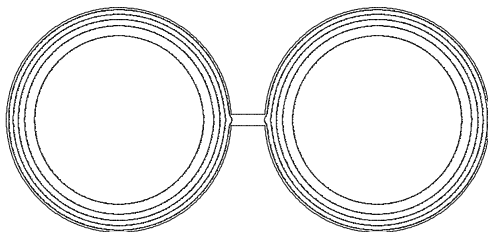


Partie réelle  
 $-0.1 < \Re\{\underline{E}\} < 1$



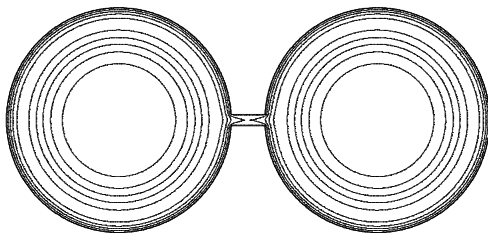
Partie imaginaire  
 $-.02 < \Im\{\underline{E}\} < 0.35$

Haltère,  $R = 1$ ,  $e = 0.1$ ,  $d = 2.3$ ,  $\delta = 0.1$ ,  $N_{ie}/L = 1$



Partie réelle

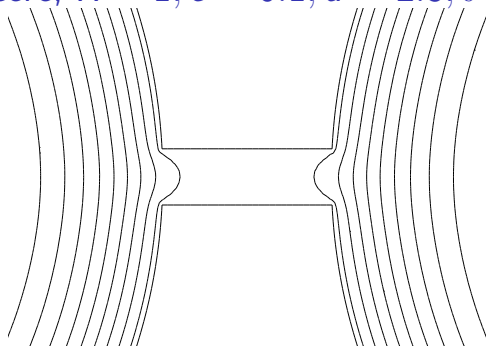
$$-0.09 < \Re\{E\} < 1$$



Partie imaginaire

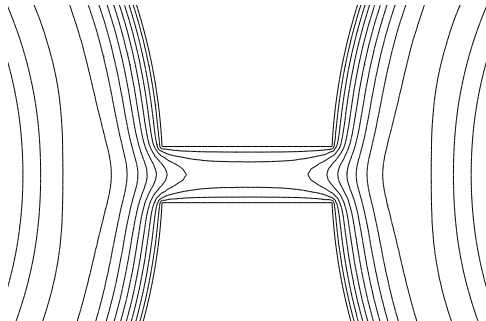
$$-0.02 < \Im\{E\} < 0.35$$

Haltère,  $R = 1$ ,  $e = 0.1$ ,  $d = 2.3$ ,  $\delta = 0.1$ ,  $N_{ie}/L = 1$



Partie réelle

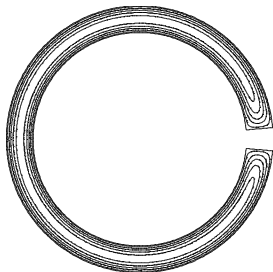
$$-0.09 < \Re\{\underline{E}\} < 1$$



Partie imaginaire

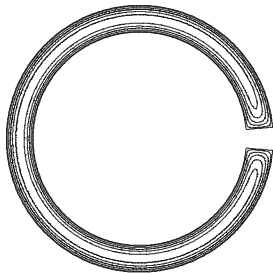
$$-0.02 < \Im\{\underline{E}\} < 0.35$$

Couronne coupée,  $R = 2$ ,  $R1 = 0.8$ ,  $\delta = 1$ ,  $N_{ie}/L = 1$



Partie réelle

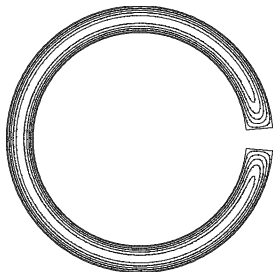
$$0.99999 < \Re\{E\} < 1$$



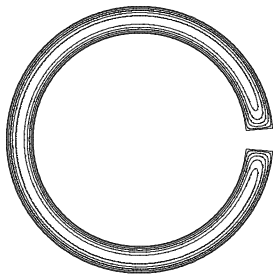
Partie imaginaire

$$0 < \Im\{E\} < 0.0035$$

Couronne coupée,  $R = 2$ ,  $R1 = 0.8$ ,  $\delta = 0.1$ ,  $N_{ie}/L = 1$

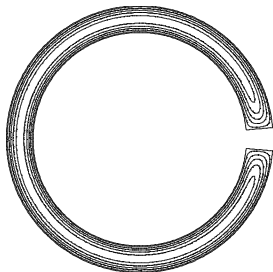


Partie réelle  
 $0.90 < \Re\{E\} < 1$

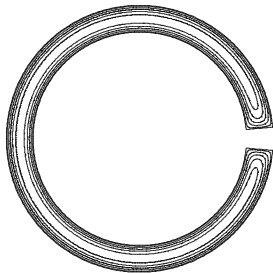


Partie imaginaire  
 $0 < \Im\{E\} < 0.32$

Couronne coupée,  $R = 2$ ,  $R1 = 0.8$ ,  $\delta = 0.1$ ,  $N_{ie}/L = 1$

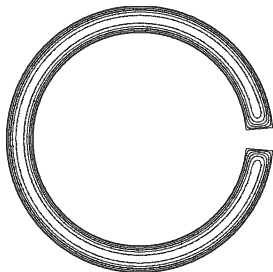


Partie réelle  
 $0.90 < \Re\{E\} < 1$



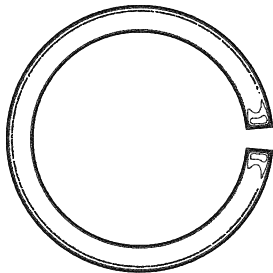
Partie imaginaire  
 $0 < \Im\{E\} < 0.32$

Couronne coupée,  $R = 2$ ,  $R1 = 0.8$ ,  $\delta = 0.03$ ,  $N_{ie}/L = 1$



Partie réelle

$$-0.14 < \Re\{\underline{E}\} < 1$$



Partie imaginaire

$$0 < \Im\{\underline{E}\} < 0.48$$

## Bilan de puissances

Quelques manipulations permettent d'établir que

$$\int_D \underline{\vec{e}}_s \cdot (\underline{\vec{\nabla}} \times \underline{\vec{I}}^*) d\vec{x}^3 = P + j Q$$

avec

$$P = \int_D \frac{|\underline{\vec{\nabla}} \times \underline{\vec{I}}|^2}{\sigma} d\vec{x}^3$$

$$Q = \omega \left( \int_D \mu |\underline{\vec{I}} - \underline{\vec{\nabla}} \underline{\vec{\Omega}}|^2 d\vec{x}^3 + \int_{E_3-D} \mu |\underline{\vec{\nabla}} \underline{\vec{\Omega}}|^2 d\vec{x}^3 \right)$$

Ce n'est qu'un bilan de puissances partiel puisque le terme source est le champ électromoteur  $\underline{\vec{e}}_s$  et donc qu'il manque le raccord au problème source permettant le calcul de  $\underline{\vec{e}}_s$  en fonction du courant  $\underline{\vec{I}}_s$ .

Néanmoins il est intéressant d'examiner sa structure

## Puissances active et réactive

En remplaçant  $\vec{j} = \vec{\nabla} \times \vec{T}$  et  $\vec{h} = \begin{cases} \vec{T} - \vec{\nabla} \underline{\Omega} & \text{dans } D \\ -\vec{\nabla} \underline{\Omega} & \text{ailleurs} \end{cases}$

il vient

$$P = \int_D \frac{|\vec{j}|^2}{\sigma} d\vec{x}^3 \quad ; \quad Q = \omega \int_{E_3} \mu |\vec{h}|^2 d\vec{x}^3$$

qui sont exactement les formes attendues pour les puissances.  
À ceci près que la puissance réactive  $Q$  n'est pas complète  
puisque'elle devrait être

$$Q = \omega \int_{E_3} \mu |\vec{h} + \vec{h}_s|^2 d\vec{x}^3$$

d'où la remarque sur le fait que le bilan n'est que partiel.

## Champ électromoteur

Si  $D$  était un tore et que  $\underline{\vec{e}}_s$  soit un élément d'un espace de cohomologie de la forme

$$\underline{\vec{e}}_s = \underline{v} \frac{\underline{\vec{u}}}{\int_D \underline{u}_s^2 d\vec{x}^3}$$

l'expression

$$P + j Q = \int_D \underline{\vec{e}}_s \cdot \underline{\vec{j}}^* d\vec{x}^3$$

pourrait être mise sous la forme

$$P + j Q = \underline{v} \underline{i}^* \text{ avec } \underline{i} = \frac{\int_D \underline{\vec{u}} \cdot \underline{\vec{j}} d\vec{x}^3}{\int_D \underline{u}^2 d\vec{x}^3}$$

Mais  $D$  n'est pas un tore. Cependant un effet Kelvin prononcé a le même effet qu'enlever la partie centrale de  $D$ , c'est à dire de le transformer en tore...

## L'avenir du modèle $\mathbf{T} - \Omega$

La description faite du modèle  $\mathbf{T} - \Omega$  est incomplète, manquent :

- ▶ le bilan de puissance incluant le champ source ;
- ▶ la description des modalités permettant de prendre en compte les effets capacitifs dans la charge et l'inducteur ;
- ▶ une extension du modèle de plaque plane à une plaque de géométrie quelconque.

Mais surtout il manque un modèle permettant de décrire comme un tore (ou un objet plus compliqué topologiquement) un domaine charge connexe soumis à un champ électromoteur  $\underline{\vec{e}}_s$  dans le cas où l'effet Kelvin est prononcé ; ça relève encore d'une activité de recherche.

## Exercice

Réécrire le modèle  $\mathbf{T} - \mathbf{\Omega}$  dans l'hypothèse des courants induits uniformes dans une tranche de plaque axisymétrique soumise à un induction source uniforme.